

УДК 534.21

ОБ ЭВОЛЮЦИИ НЕЛИНЕЙНЫХ ВОЛН В ДИССИПАТИВНОЙ СРЕДЕ С ДИСПЕРСИЕЙ

B. B. Соболев

(Новосибирск)

В работе численно моделируется процесс распространения длинноволновых возмущений в рамках уравнения Бюргерса—Кортевега—де Бриза с учетом низкочастотного поглощения. Рассматриваются возможные автомодельные решения.

Распространение длинноволновых возмущений конечной амплитуды U в среде с кубической дисперсией описывается уравнением Кортевега—де Бриза [1–3]

$$U_t + UU_x + \beta U_{xxx} = 0 \quad (1)$$

Если в среде есть диссипация, то вместо (1) имеет

$$U_t + UU_x + \beta U_{xxx} - \alpha U_{xx} + \gamma U = 0 \quad (2)$$

Два последних члена в (2) определяют высокочастотное и низкочастотное поглощения. Уравнение (2) и его модификации получаются при рассмотрении эволюции возмущений в плазме, на поверхности жидкости, в двухфазной среде, в среде с неоднородностями и т. д. [1–7].

Когда отсутствуют дисперсия и высокочастотное поглощение ($\beta = \alpha = 0$), из (2) имеем

$$U_t + UU_x + \gamma U = 0 \quad (3)$$

Получим автомодельное решение этого уравнения. После замены

$$\xi = x \exp(\gamma t), \quad U = \exp(\gamma t) \psi(\xi)$$

уравнение (3) принимает вид

$$2\psi + \xi\psi_\xi + \mu\psi\psi_\xi = 0, \quad \mu = \exp(2\gamma t) \gamma^{-1} \quad (4)$$

Вводим $\varphi = \mu\psi$. Тогда из (4) получаем

$$2\varphi + (\xi + \varphi)\varphi_\xi = 0 \quad (5)$$

Это — уравнение Абеля второго рода, в него входят только автомодельные переменные.

Если исключить случай $\varphi = 0$, то для функции $\xi = \xi(\varphi)$ получается линейное уравнение

$$\frac{d\xi}{d\varphi} + \frac{1}{2\varphi}\xi = -\frac{1}{2} \quad (6)$$

Его решение есть

$$\xi = C\varphi^{-1/2} - \varphi/3 \quad (7)$$

где C — постоянная интегрирования.

Из (7) можно найти φ . Пусть $\beta = \gamma = 0$. Тогда (2) переходит в известное уравнение Бюргерса

$$U_t + UU_x - \alpha U_{xx} = 0 \quad (8)$$

Нетрудно показать, что (8) имеет автомодельное решение вида

$$U(x, t) = \alpha (2\alpha t)^{-1/2} \psi [x(2\alpha t)^{-1/2}] \quad (9)$$

Подставляя (9) в (8), получим уравнение для

$$\frac{d^2\psi}{d\eta^2} - \psi \frac{d\psi}{d\eta} + \eta \frac{d\psi}{d\eta} + \psi = 0, \quad \eta = x(2\alpha t)^{-1/2} \quad (10)$$

Когда амплитуда возмущения достаточно мала и нелинейным членом в (10) можно пренебречь, то

$$\psi = e^{-\eta^2/2} \left(C_1 + C_2 \int e^{-\eta^2/2} d\eta \right) \quad (11)$$

где C_1, C_2 — константы интегрирования.

В общем случае (10) заменой

$$y = (\eta - \psi) / 2 \quad (12)$$

приводится к уравнению Риккати

$$y' + y^2 = 1/2 + \eta^2 / 4 + C \quad (13)$$

Подстановка

$$z = \exp \left(\int y d\eta \right) \quad (14)$$

дает

$$z'' = (1/2 + \eta^2 / 4 + C) z \quad (15)$$

Если $\psi = \psi' = 0$ при $\eta = 0$, то из (12), (13) следует, что $C = -1/2$. Тогда

$$z = A_1 \sqrt{-\eta} J_{1/4}(i\eta^2 / 4) + A_2 \sqrt{-\eta} Y_{1/4}(i\eta^2 / 4) \quad (16)$$

где A_1, A_2 определяются из начальных и краевых условий, $J_{1/4}, Y_{1/4}$ функции Бесселя.

Если начальные условия таковы, что константа C в (15) равна нулю, то

$$z = e^{\eta^2/4} \left(B_1 + B_2 \int e^{-\eta^2/4} d\eta \right) \quad (17)$$

Зная z , с помощью (12), (14) можно определить ψ . При других значениях C уравнение (15) не интегрируется в квадратурах.

Выясним физический смысл автомодельного решения уравнения (8). Пусть в качестве начального условия для (8) задается распределение с характерной амплитудой U_0 и характерным размером λ . Вводя безразмерные величины

$$\tau = U_0 t / \lambda, \quad y = x / \lambda, \quad v = U / U_0$$

из (8) получим

$$v_\tau + vv_y - v^{-1}v_{yy} = 0, \quad v = U_0 \lambda / \alpha$$

Рассмотрим последовательность начальных возмущений, у которых $\lambda \rightarrow 0$, но величина $U_0 \lambda$ остается постоянной. Тогда при одном и том же α

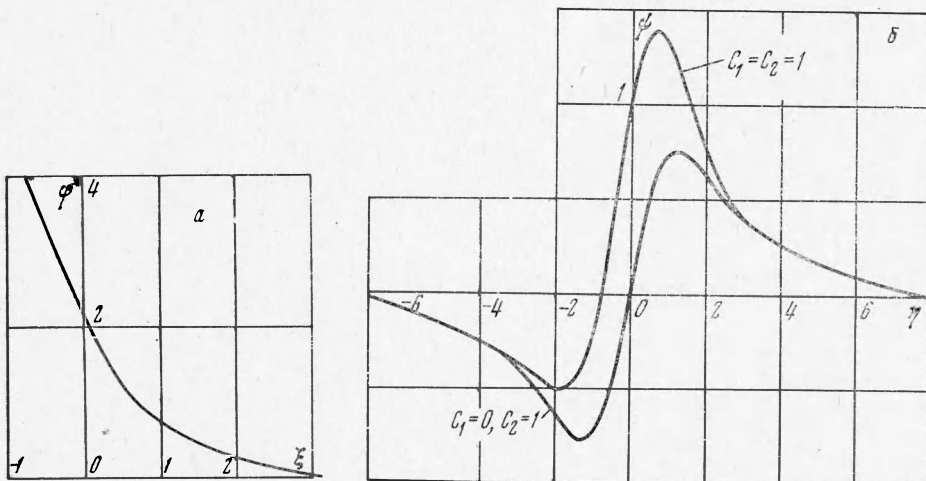
решения уравнения (8) должны быть подобными, так как $v = \text{const}$, следовательно, предельное решение может содержать только комбинацию параметров, имеющих размерность длины и скорости. В уравнении Бюргерса таким параметром является α . Тогда предельное решение имеет вид (9). Можно показать, что начальное возмущение, приводящее к (9), есть

$$U(x, 0) = \alpha v \delta(x)$$

где $\delta(x)$ — дельта-функция. Действительно, если A — произвольная постоянная, то, воспользовавшись одним из представлений $\delta(x)$, имеем

$$A\delta(x) = \lim_{\lambda \rightarrow 0} (A\lambda\pi^{-1} / (x^2 + \lambda^2))$$

Здесь A/λ есть характерная скорость U_0 , тогда $U_0\lambda = A = \text{const}$. Но $U_0\lambda = \alpha v$, следовательно, $A = \alpha v$. Таким образом, физический смысл



Фиг. 1

автомодельного решения (8) уравнения Бюргерса состоит в том, что оно описывает распространение начальных возмущений вида

$$U(x, 0) = \frac{\alpha v \lambda}{\pi(x^2 + \lambda^2)} \quad \text{при } x \gg \lambda, t^{1/2} \gg \lambda x^{-1/2}$$

Подобным же образом в [2] устанавливается физический смысл автомодельного решения уравнений Кортевега — де Вриза, о котором говорится ниже. На фиг. 1, а, б изображены соответственно автомодельное решение $\phi(\xi)$ уравнения (5) и решение (11) уравнения (10). Из фиг. 1, а видно, что $\phi(\xi)$ имеет смысл при $\xi \gg 1$, т. е. $x \gg \lambda, t \gg \gamma^{-1}$.

Когда в среде нет диссипации, то распространение возмущения описывается уравнением Кортевега — де Вриза (1). В [2] показано, что уравнению (1) удовлетворяет следующее автомодельное решение:

$$U(x, t) = \beta (3\beta t)^{-2/3} \chi [x (3\beta t)^{-1/3}] \quad (18)$$

Подстановка (18) в (1) дает уравнение для

$$\chi'' - \zeta \chi' + \chi \chi' - 2\chi = 0, \quad \zeta = x (3\beta t)^{-1/3} \quad (19)$$

Если рассматривать экспоненциально затухающие при $\zeta \rightarrow \infty$ решения (19), то

$$\chi(\zeta) \approx B dAi(\zeta)/d\zeta \text{ при } \zeta \rightarrow \infty \quad (20)$$

где $Ai(\zeta)$ — функция Эйри, B — постоянная.

Поведение $\chi(\zeta)$ при отрицательных и небольших положительных значениях ζ найдено в [2] с помощью численного интегрирования (19) при положительных B . В данной работе выяснено поведение $\chi(\zeta)$ и при отрицательных B (фиг. 2). Решения при $B < 0$ и $B > 0$ заметно отличаются в окрестности начала координат. При $B < B_*$ функции $\chi(\zeta)$ при отрицательных ζ осциллируют с медленно растущей амплитудой. При $B > B_*$ решения χ имеют особенность. Как показывают численные эксперименты

$$B_*^{(+)} = -B_*^{(-)} = 3.35$$

Перейдем к рассмотрению нестационарных решений уравнения (2). В работах [6, 7] находятся поправки к стационарному решению уравнения (1), когда диссипативные члены в (2) малы и получающаяся волна близка к кноидальной. В данной работе с помощью численного интегрирования находятся решения уравнения (2) при различных соотношениях между коэффициентом дисперсии β и параметрами поглощения α и γ .

В качестве начального условия для (2) задавалось гауссовское распределение

$$U(x, 0) = a_0 \exp[-(x - x_0)^2 / l^2] \quad (21)$$

Рассматривались периодические граничные условия

$$U(x, t) = U(x + L, t) \quad (22)$$

Для выяснения вопроса о структуре спектра возмущения полученное решение уравнения (2) разлагалось в ряд Фурье

$$U(x, t) = \sum_{k=1}^N U_k \exp(2\pi kx / L) \quad (23)$$

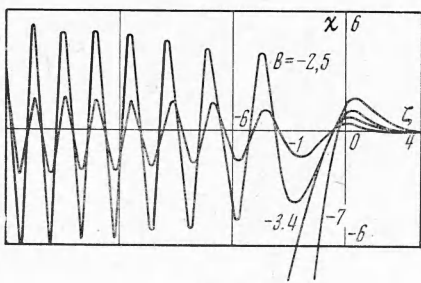
Количество гармоник N выбиралось так, чтобы длина волны N -й гармоники $\lambda_N = L / 2\pi N$ была много больше пространственного шага интегрирования.

Для проверки правильности вычислений в качестве начального распределения для уравнения (2) при $\alpha = \gamma = 0$ задавалось солитонное стационарное решение уравнения Кортевега — де Вриза [1-3]

$$U(x, 0) = a \operatorname{sech}^2(a/12\beta)^{1/2}(x - x_0) \quad (24)$$

Его изменение с течением времени не превышало погрешности интегрирования уравнения (2). Точность счета контролировалась законами сохранения. При $\alpha = \gamma = 0$ проверялось сохранение первых двух инвариантов уравнения (1)

$$J_1 = \int_0^L U dx, \quad J_2 = \int_0^L U^2 dx$$



Фиг. 2

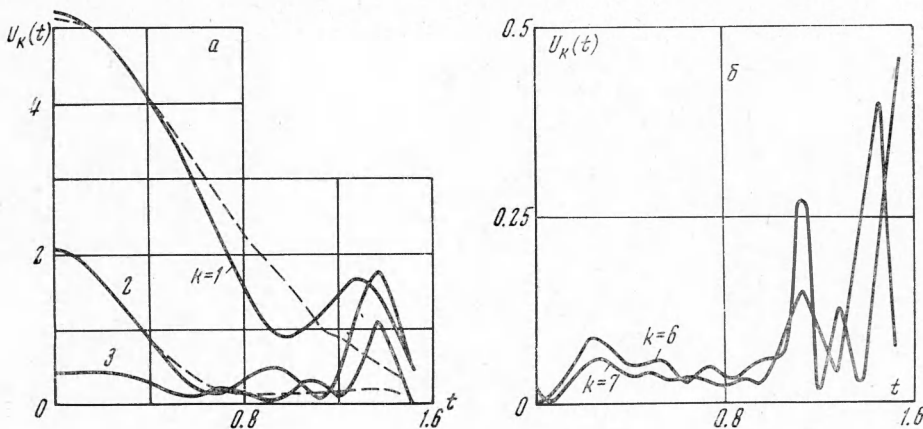
В процессе вычислений максимальные относительные погрешности были следующие:

$$\Delta J_1 / J_1 \approx 3 \cdot 10^{-6}, \Delta J_2 / J_2 \approx 5 \cdot 10^{-3}$$

В общем случае ($\alpha \neq 0, \gamma \neq 0$) проверялся закон изменения импульса волны с течением времени

$$\int_0^L U(x, t) dx = \exp(-\gamma t) \int_0^L U(x, 0) dx$$

Параметр дисперсии β , амплитуда a_0 и ширина l начального распределения (21) выбирались так, чтобы параметр подобия $\sigma = (a_0 l^2 / \beta)^{1/2}$ был как больше, так и меньше $\sigma_* = \sqrt{12}$ [2].



Фиг. 3

В случае очень больших σ ($\sigma \gg \sigma_*$) образуется набор солитонов [2, 3]. На фиг. 3, а, б показана зависимость квадрата фурье-компонент решения U_k^2 от времени при $\sigma^2 = 7,5 \cdot 10^5$, $\alpha = 10^{-4}$, $\gamma = 0$. Видно, что относительный вклад первых гармоник ($k=1, 2, 3$) с ростом t уменьшается, а более высоких ($k=6, 7$) — увеличивается. То же происходит и при $\sigma^2 = 9$. Штриховыми линиями показано поведение $U_k^2(t)$ в случае консервативной среды ($\alpha = \gamma = 0$).

Таким образом, высокочастотное поглощение «дестабилизирует» волну возмущения. Это наблюдалось экспериментально, например, при распространении звука в двухфазной среде, состоящей из жидкости и пузырьков газа [5]. Картина качественно та же и при положительной дисперсии. Качественно дестабилизацию волны можно объяснить, используя стационарное решение уравнения (2).

Переходя к переменной $r = x - Vt$, полагая $\gamma = 0$ и интегрируя полученное уравнение один раз при условии $U = U' = U''$ при $x \rightarrow \infty$, имеем

$$\beta U'' - \alpha U' + U^2 / 2 - VU = 0 \quad (25)$$

Из анализа этого уравнения следует [2], что, если $\alpha > \alpha_* = (4 \beta V)^{1/2}$, то профиль волны становится осцилляторным. Это можно качественно обобщить на случай, когда волна мало отличается от стационарной.

Численные эксперименты показывают, что в процессе эволюции частота осцилляций увеличивается. Они происходят в основном в области, где $U > 0$. В силу закона сохранения импульса (при $\gamma = 0$) площадь начального возмущения сохраняется. Поэтому при уменьшении длины волны осцилляций их амплитуда возрастает. С ростом амплитуды усиливается роль нелинейных эффектов, что приводит к дальнейшей раскачке высокочастотных колебаний.

Счет велся до тех пор, пока длины волн осцилляций были много больше шага интегрирования по x . Вообще говоря, уравнение (2) становится неприменимым при появлении коротковолновых колебаний. Поэтому рассмотрение эволюции высокочастотных осцилляций носит в основном качественный характер.

В присутствии низкочастотного поглощения решения уравнения (2) сглаживаются. Если $\alpha = 0$ и амплитуда возмущения достаточно мала, так что нелинейными эффектами можно пренебречь, то из (2) видно, что $U \sim \exp(-\gamma t)$. Когда $\alpha \neq 0$, член с γ в уравнении (2), приостанавливает или по крайней мере замедляет дестабилизацию волны в зависимости от соотношения между величинами α , β , γ . Это подтверждается численными экспериментами. Отметим, что эффект дестабилизации монохроматической волны в нелинейной среде с высокочастотным поглощением аналогичен «диссипативной» неустойчивости волны в диэлектриках и плазме [8, 9].

Автор благодарит С. Л. Мушера за полезные обсуждения.

Поступила 6 VII 1971

ЛИТЕРАТУРА

1. Korteweg D. J., de Vries. On the change of form of long waves advancing in a rectangular canal and a new type of long solitary waves. Philos. Mag., 1895, Ser. 5, vol. 39.
2. Карпман В. И. Нелинейные волны в диспергирующих средах. Новосибирск, Изд-во Новосибирск. гос. ун-та, 1968.
3. Кадомцев Б. Б., Карпман В. И. Нелинейные волны. Усп. физ. н., 1971, т. 103, вып. 2.
4. Ott E., Sudan R. N. Non-linear theory of ion acoustic waves with Landau damping. Phys. Fluids, 1969, vol. 12, No. 11.
5. Бурдуков А. П., Накоряков В. Е., Покусаев Б. П., Соболев В. В., Шрейбер И. Р. Некоторые вопросы газодинамики гомогенной модели двухфазной среды. Новосибирск, 1971. В сб. «Численные методы механики сплошной среды», т. 2, № 5, Новосибирск, Изд-во ВЦ СО АН СССР, 1971.
6. Пелиновский Е. Н. О поглощении нелинейных волн в диспергирующих средах. ПМТФ, 1971, № 2.
7. Ott E., Sudan R. N. Damping of solitary waves. Phys. Fluids, 1970, vol. 13, No. 6.
8. Захаров В. Е. «Диссипативная» неустойчивость световой волны в нелинейных диэлектриках. Письма ЖЭТФ, 1968, т. 7, вып. 8.
9. Мoiseev С. С., Сагдеев Р. З. О коэффициенте диффузии Бома. ЖЭТФ, 1963, т. 44, вып. 2.